

## تهیه قطعات برپایه $\text{Mo}(\text{Si}, \text{Al})_2$ با بیش از ۹۰ درصد چگالی نسبی به روش SHS یک مرحله‌ای و بدون اعمال فشار خارجی

سید علی طبیبی‌فرد<sup>\*</sup>، رحیم یزدانی راد و مسعود درودیان

پژوهشگاه مواد و انرژی

تاریخ ثبت اولیه: ۱۳۸۶/۳/۹، تاریخ دریافت نسخه اصلاح شده: ۱۳۸۶/۱۰/۲۵، تاریخ پذیرش قطعی: ۱۳۸۶/۱۲/۲۳

**چکیده** هدف از اجرای این پژوهه، تهیه قطعات برپایه  $\text{MoSi}_2$  در سیستم سه‌تایی ( $\text{Mo} \cdot \text{Si} \cdot \text{Al}$ ) و چگالش آن در حین تهیه به روش<sup>۱</sup> SHS، بدون استفاده از روش‌های تکمیلی و اعمال فشار خارجی است. ابتدا مخلوط استوکیومتری مواد اولیه (پودرهای فلزی  $\text{Al}, \text{Si}, \text{Mo}$  با ترکیب  $\text{X}_{\text{Si}} = 0.2 - 0.5$  و  $\text{X}_{\text{Al}} = 0.5 - 0.8$ ) تهیه شد و سپس نمونه‌های خام آنها، تحت بیش‌گرمایش قرار گرفت و در واکنش گاه احتراق تهیه شد. با بررسی و بهینه‌سازی عوامل مؤثر بر این فرآیند نظری درصد پودر  $\text{Al}$  دانه‌بندی پودر  $\text{Si}$ ، فشار پرس، برنامه بیش‌گرمایش و دما، محصولی با چگالی نسبی بیش از ۹۰٪ و ریزساختار یکنواخت بدست آمد.

**کلمات کلیدی** قطعات چگال،  $\text{MoSi}_2$ ، SHS،  $\text{Mo}(\text{Si}, \text{Al})_2$ ، آلیاژسازی.

## Synthesis of Dense Structural Materials based on $\text{Mo}(\text{Si}, \text{Al})_2$ by One Step SHS and without External Pressure

S.A. Tayebifard<sup>\*</sup>, R. Yazdani Rad and M. Doroudian

*Materials and Energy Research Center*

**Abstract** In this paper the samples based on  $\text{MoSi}_2$  in  $\text{Mo} \cdot \text{Si} \cdot \text{Al}$  triple system were produced. Their densification was studied without using complementary methods and external pressure during synthesis via SHS method. Initially, raw materials ( $\text{Mo} \cdot \text{Si} \cdot \text{Al}$ ) were weighted and mixed together corresponding to  $\text{Mo} (\text{Si}_{1-x}, \text{Al}_x)_2$  with  $0.2 \leq x \leq 0.5$ . Mixed powders were pressed by a uniaxial pressing. Then the obtained pellets were preheat and synthesized in combustion reactor. Finally, the parameters affected the samples properties such as percentage of Si substitution with Al, particle size of Si powder, pressing pressure; preheating process and ignition temperature were optimized. The results show that the final densities of synthesized samples were up to 90% TD and their microstructure were uniform.

**Keywords** Dense Structural Materials,  $\text{Mo}(\text{Si}, \text{Al})_2$ , SHS,  $\text{MoSi}_2$ , Alloying.

\*عهده‌دار مکاتبات

نشانی: کرج، مشکین‌دشت، پژوهشگاه مواد و انرژی.

تلفن: ۰۲۶۱-۶۲۰۴۱۳۱، پیام‌نگار: ۰۲۶۱-۶۲۰۱۸۸۸، دورنگار: ۰۲۶۱-۶۲۰۱۸۸۸، a-tayebi@merc.ac.ir

## ۱\_ مقدمه

این زمینه به نظر می‌رسد، عواملی نظیر شکل ذرات عناصر آلیاژی (Al)، درصد Al در نسبت‌های جاگرینی  $x \leq 0.5 / 2 \leq x \leq 0.2$  در فرمول  $Mo_{+2}xAl_{1-x}$  و فشار بهینه پرس (چگالی خام)، بهینه نمونه‌ها کمتر بررسی شده است؛ لذا در این تحقیق، تأثیر عوامل ذکر شده بررسی شده است.

## ۲\_ فعالیت‌های تجربی

مواد اولیه واکنش گر در این پژوهش عبارت اند از پودرهای فلزی Mo و Si و Al که در جدول ۱ به ویژگی‌های آن اشاره شده است. با توجه به فرمول  $Mo_{+2}xAl_{1-x}$  و محدوده جانشینی Al به  $Si_{0.2-0.5}/X_{0.1-0.2}$  مول، پودر مواد اولیه توزین و با هم مخلوط شدند. با فشردن مخلوط پودر به کمک پرس دستی یک طرفه نمونه‌های خام تهیه شد. در ادامه نمونه‌ها در کوره لوله‌ای تا دمای  $400^{\circ}\text{C}$  تحت خالا  $1\text{ torr}$  به مدت ۱ ساعت پیش گرم، (تعدادی هم بدون پیش گرمایش برای سنتز ارسال شدند) و سپس در دمای  $850^{\circ}\text{C}$  [V] تحت اتمسفر آرگون به روش SHS سنتز شدند. آزمون‌های انجام شده عبارت اند از: اندازه گیری چگالی و تخلخل نمونه‌های خام و سنتز شده به ترتیب به روش هندسی و روش غوطه‌وری ارشمیدس مطابق استاندارد ASTM C373.88 و بررسی ریزساختاری نمونه‌ها به کمک SEM.

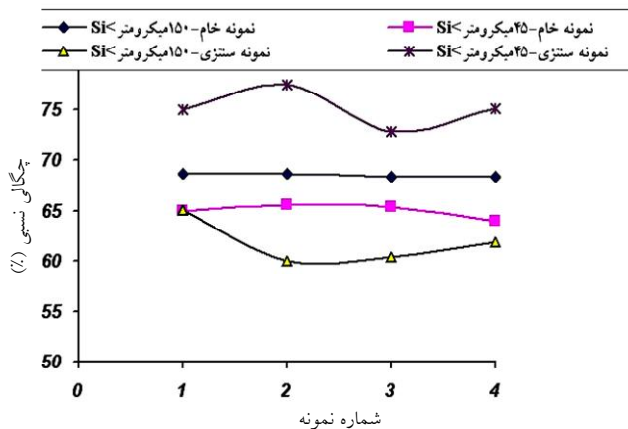
## ۳\_ نتایج و بحث

پودر Si تا کمتر از ۳۲۵ میکرون (۴۵ میکرون) دانه بندی شد و به همراه دانه بندی اولیه ارزیابی شد. شکل ۱ تأثیر کاهش اندازه دانه‌های Si بر چگالی نمونه‌های خام و محصول نهایی را نشان می‌دهد. در این شکل، افزایش چگالی نسبی محصول در اثر

مولیبدن دی‌سیلیساید، ( $\text{MoSi}_2$ ) از مدت‌ها پیش شناخته شده، (۱۹۰۷) و به دلیل مقاومت عالی دربرابر اکسایش دمای بالا مطالعه شده است [۱]. مولیبدن دی‌سیلیساید از نظر هدایت حرارتی و الکتریکی مشابه فلزات و از نظر دیرگذاری و مقاومت به اکسایش و خوردگی در دمای بالا مشابه سرامیک‌ها رفتار می‌کند؛ بنابراین نماینده مناسبی برای کاربردهای الکتریکی و حرارتی در شرایط دمای بالا است. لیکن این ماده برای تهیه قطعات چگال، (با درنظر گرفتن نقطه ذوب بالای آن،  $(2030^{\circ}\text{C})$  نیاز به تفجوشی در دمای بالا،  $(1600^{\circ}\text{C} \text{ تا } 1700^{\circ}\text{C})$  و صرف زمان زیاد دارد. مقاومت مخصوص الکتریکی این ماده، پایین و قابل مقایسه با فلزات است. از نظر شیمیایی دربرابر اسیدها و بازها کاملاً مقاوم است و از نظر خواص مکانیکی در دمای پایین مانند سرامیک‌ها ترد است و چقرمگی کمی دارد. در دماهای بالا شبیه خرزشی بالایی از خود نشان می‌دهد؛ لذا نمی‌توان از این ترکیب انتظار استحکام بالایی داشت [۲]. روش‌های متداول برای تهیه آلیاژها و کامپوزیت‌های زمینه  $\text{MoSi}_2$  عبارت اند از: متالورژی پودر، تفجوشی تحت فشار، آلیاژسازی مکانیکی و غیره [۳، ۶، ۱]. اعمال این فناوری‌ها همراه با صرف هزینه‌های زیاد، انرژی بالا و وقت زیاد خواهد بود. در چند دهه اخیر شیوه‌های نوین سنتز با توانایی‌های چشمگیر در حال جایگزینی با روش‌های مرسوم است؛ از جمله این روش‌ها می‌توان به سنتز احتراقی یا SHS اشاره کرد. این روش فرآیندی نسبتاً ارزان با کارآیی بالاست که عمدهاً با آماده‌سازی از پودرهای عنصری، به محصولاتی با خلوص بالا، قابلیت تفجوشی مناسب و خواص مکانیکی قابل قبول منجر می‌شود [۳، ۲]. مبنای فرآیند سنتز احتراقی واکنش خودبه‌خودی گرمایش بین پودرهای عنصری مواد اولیه است که به تولید محصول نهایی بدون نیاز به اعمال حرارت اضافی منجر می‌شود [۷]. با مطالعه تحقیقات انجام شده در

جدول ۱. معرفی مواد اولیه مصرفی و ویژگی های آن.

کد محصول	محصول شرکت	دانه بندی(میکرومتر)	خلوص(درصد)	علامت اختصاری	نوع ماده اولیه
۱۳۳۰۹	Riedel	-۴۰	۹۹/۷	Mo	پودر فلز مولیبدن (Mo)
۱۲۴۹۷	Merck	-۱۵۰	۹۹>	Si	پودر فلز سیلیکون (Si)
۱۰-۱۰۵۶	Merck	-۴۵	۹۹	AM	پودر فلز آلومینیم (Al)



شکل ۱. تأثیر اندازه دانه های پودر Si بر چگالی نسبی نمونه های فشرده شده خام و محصول سنتز شده

(فشار پرس  $(\text{Mo}(\text{Si}_{1-x}, \text{Al}_x)_2, \text{ درصد Al برابر } 20\%)$  در  $177 \text{ MPa}$ )

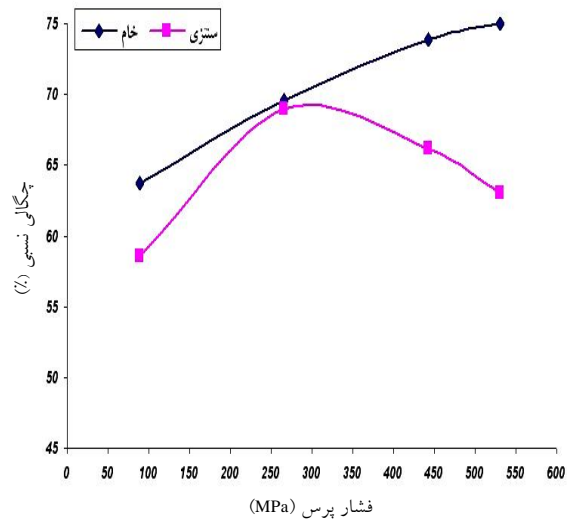
تحقیق است. شکل ۲ تأثیر افزایش فشار پرس بر چگالی خام و نهایی محصول را نشان می دهد. همان گونه که ملاحظه می شود، با افزایش فشار پرس، چگالی خام نمونه ها به صورت لگاریتمی افزایش یافته است. قفل شدن و درگیر شدن ذرات نمونه فشرده شده با هم در مقادیر بالای فشار پرس را می توان دلیل روند روبه کاهش شبیب چگالش خام با افزایش فشار پرس دانست. از طرف دیگر چگالی نهایی محصول با افزایش فشار پرس ابتدا افزایش و سپس کاهش می یابد. افزایش اولیه چگالی

دانه بندی Si به زیر ۳۲۵ میش (۴۵ میکرون) با ثابت شرایط سنتز به وضوح دیده می شود. علت این پدیده را می توان به کاهش اندازه حفره های برجای مانده از ذوب ذرات Si و پرشدن ساده تر این حفره ها در حین سنتز با مکانیزم تف جوشی نسبت داد که در این فرایند جای خالی ناشی از ذوب Si در صورت کاهش اندازه دانه های آن ساده تر پر می شود [۱۰, ۹, ۵]. فشار پرس نمونه های خام و تأثیر آن بر چگالی خام و چگالی نهایی محصول، از دیگر عوامل مورد مطالعه در این

همچنین قبل ذکر شد تعدادی از نمونه‌ها پیش از ستر، پیش گرم شدند. هدف از پیش گرمایش، تسريع در خروج گازهای سطحی و بررسی ریزاساختار نهایی نمونه تحت پیش گرمایش است. البته دما و زمان پیش از گرمایش برای جلوگیری از ستر فازهای ناخواسته اهمیت دارد. از بین فازهای اصلی،  $(\text{Mo}_3\text{Si}, \text{Mo}_5\text{Si}_3, \text{MoSi}_2)$  موجود در سیستم  $\text{Mo-Si}$  تنها  $\text{MoSi}_2$  بدون اعمال پیش گرمایش با روش SHS ستر می‌شود [۱۲].  $\text{Mo}_3\text{Si}$  فقط در شرایطی می‌تواند از روش SHS ستر شود که تا دمای  $500^\circ\text{C}$  پیش گرم شود. اگرچه  $\text{Mo}_5\text{Si}_3$  در دمای  $300^\circ\text{C}$  تا  $400^\circ\text{C}$  ستر می‌شود، واکنش SHS در آن حالت خودپیشروع ندارد و در نیمه‌راه متوقف می‌شود [۱۳]. با درنظرداشتن توضیحات بالا و تحقیقات انجام شده [۱۴] شرایط دمایی  $400^\circ\text{C}$  به مدت ۱ ساعت تحت خلا  $10^{-1}\text{torr}$  انتخاب شد. شکل ۳، تصویر ریزاساختار نمونه‌های سترشده با پیش گرمایش و بدون آن را نشان می‌دهد.

افزایش اندازه دانه‌ها و کاهش تخلخل‌های بین دانه‌ای در اثر پیش گرمایش نمونه‌ها به دلیل افزایش دمای آدیباتیک واکنش و افزایش فعالیت مکانیزم تف‌جوشی در حضور فاز مایع است [۱۳، ۱۰، ۹، ۶].

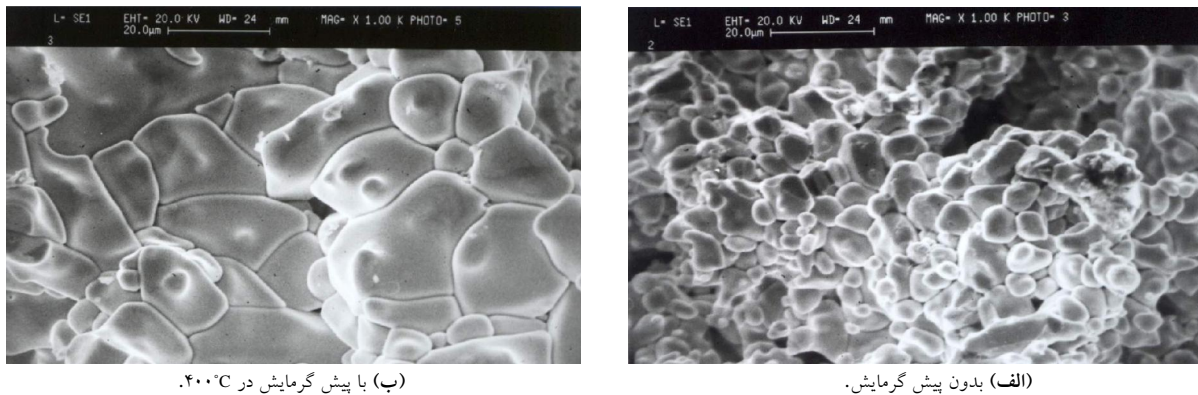
متغیر دیگری که مطالعه شد، تأثیر افزایش درصد  $\text{Al}$  بر چگالی خام و نهایی محصول بود (شکل ۴). در این شکل با افزایش  $\text{Al}$  افزایش چگالی نسبی خام نمونه‌ها دیده می‌شود. در اینجا ذرات  $\text{Al}$  تحت فشار می‌توانند به منزله یک فاز چکش خوار به سادگی فضاهای خالی بین ذرات،  $(\text{Mo}, \text{Si})$  را پر کنند و سبب افزایش چگالی خام نمونه‌ها شوند. از طرف دیگر چگالی نهایی محصول با افزایش  $\text{Al}$  ابتدا افزایش و سپس کاهش می‌یابد. همان‌طور که قبل اشاره شد، شکل ۲ با افزایش محدود چگالی خام، چگالی نهایی افزایش می‌یابد.



شکل ۲. تأثیر افزایش فشار پرس بر چگالی خام نمونه‌های فشرده و چگالی نهایی نمونه‌های ستر شده  $\text{Mo}(\text{Si}_{1-x}, \text{Al}_x)_2$  در پیش گرمایش در  $400^\circ\text{C}$  و ستر در  $850^\circ\text{C}$ .

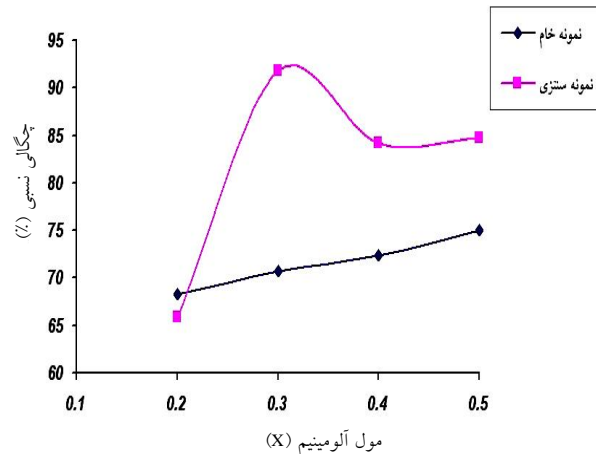
محصول با فشار پرس به دلیل افزایش سطح تماس ذرات واکنش گر، برقراری اتصالات بیشتر بین ذرات، سادگی انجام واکنش و تسهیل در تشکیل لوله‌های مویین برای انتقال مایع مطابق نظریه تف‌جوشی در حضور فاز مایع، توجیه پذیر است [۱۰، ۹]. اما کاهش چگالی محصول با ادامه افزایش فشار پرس در مرحله بعد ناشی از افزایش بیش از حد اتصالات بین ذرات و استحکام آن است که از تحرک دانه‌ها کاسته و مرحله بازآرایی، (Rearrangement) به عنوان مرحله اول تف‌جوشی فاز مایع کامل نمی‌شود [۱۰، ۹]. از جمله دلایل دیگری که برای این پدیده قابل ذکر است، افزایش هدایت حرارتی و اتلاف حرارت ناشی از افزایش بیش از حد اتصالات بین ذرات در اثر افزایش فشار پرس و درنتیجه از دست رفتن حرارت که لازمه ادامه واکنش SHS و تکمیل فرآیند تف‌جوشی است [۱۱]. بنابراین نمونه‌های خام باید با فشار پرس بهینه تهیه شوند که در اینجا فشار حدود  $270 \text{ MPa}$  به دست آمده است.

۲. با توجه به وجود فاز مایع ناشی از انحلال  $\text{Si-Al}$  و زمان کوتاه ستر و تف‌جوشی در حضور فاز مایع، مکانیزم غالب تف‌جوشی سیترشدن شناخته می‌شود [۱۴].



(ب) با پیش گرمایش در ۴۰۰°C.

(الف) بدون پیش گرمایش.

شکل ۳. تصویر ریزساختار(سطح شکست) نمونه های سنتز شده  $X=0/2$  در  $850^{\circ}\text{C}$ ، و سترز در  $400^{\circ}\text{C}$ .

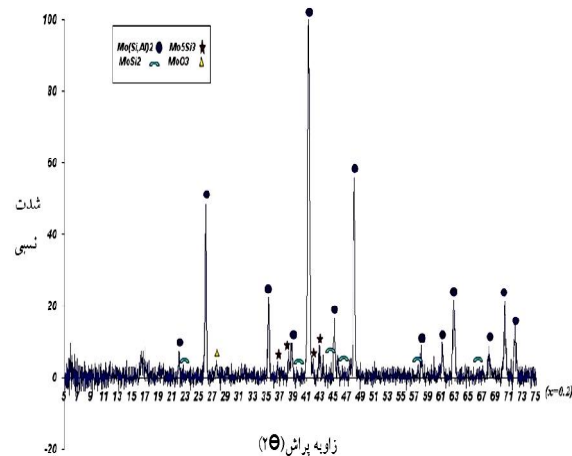
شکل ۴. تأثیر درصد Al بر چگالی نسبی نمونه های فشرده خام و محصول (فشارپرس ۲۶۶ MPa، پیش گرمایش در ۴۰۰°C و سترز در ۸۵۰°C).

عایل و هر این، در اینجا افزایش آلومنیم سبب افزایش مقدار (Swelling) می شود و چگالی آن کاهش می یابد [۱۰,۹]. در پایان برای اثبات ادعای سترز فازها برپایه  $\text{MoSi}_2$  آزمایش XRD از نمونه با فرمول  $X=0/2$  در  $400^{\circ}\text{C}$  تدارک دیده شد. شکل ۵، نتایج این آزمایش و سترز فاز اصلی  $\text{Mo}(\text{Si},\text{Al})_2$  را نشان می دهد.

علاوه بر این، در اینجا افزایش آلومنیم سبب افزایش مقدار فاز مایع حین سترز و تسريع در مکانیزم تف جوشی فاز مایع می شود؛ اما افزایش بیش از حد Al و از آنجا فاز مایع موجب بسته شدن منافذ خروج هوای محبوس و گازهای متصاعد حین سترز می شود. اصطلاحاً در این حالت محصول دچار تورم

## مراجع

1. Chu, F., Thoma, D. J., McClellan, K. and Peralta, P., "Mo<sub>5</sub>Si<sub>3</sub> Single Crystals, Physical Properties and Mechanical Behavior", *Material science and Engineering*, Vol. 261 (1999) 44-52.
2. Maremaisupat, D., Wilkinson, D. S. and Petric, A., "Combustion Synthesis and Mechanical Properties of Molybdenum Dislike Composites Reinforced with Sic Particulate", *Journal of Materials Science*, Vol. 33 (1998) 2319-2330.
3. Yazdani-Rad, R., Tayebifard, S. A. and Doroudian, M., "Influence of Compaction Pressure and Atmosphere on SHS of Molybdenum Dislike", *International Journal of Engineering Science*, Vol. 14 No. 2 (2003) 51-63.
4. Meschter, P. J., "Low Temperature Oxidation of Molybdenum Dislike", *Metall. Trans.*, Vol. 23 Trans. A (1992) 1763-1772.
5. Deevi, S. C., "Self-Propagating High- temperature Synthesis of Molybdenum Dislike", *Journal of Materials Science*, Vol. 26 (1991) 3343-3353.
6. Wooklee, G., Woolee, H., Dokim Y. and Seagkim, Y., "Synthesis and Densification of MoSi<sub>2</sub> by Self-Propagating High-Temperature Synthesis", Ceramic Transaction, American Ceramic Society, Vol. 56 (1995) 57-66.
7. طبی فرد، سید علی، "بررسی پارامترهای مؤثر بر سنتز MoSi<sub>2</sub> به روش SHS، پایان نامه کارشناسی ارشد، پژوهشگاه مواد و انرژی، بهمن (۱۳۷۷).
8. طبی فرد، سید علی، یزدانی راد، رحیم، درودیان، مسعود، احمدی، کامران "بررسی اثربخشی Si با MoSi<sub>2</sub> بر تحول فازی و ریزساختاری ترکیبات MoSi<sub>2</sub> تهیه شده به روش SHS"، مجله بین المللی مهندسی.
9. German, R. M., "Sintering Theory and Practice", New York, USA, *John Wiley Press*, (1996).
10. German, R. M., "Liquid Phase Sintering", New York, USA, *Plenum Press*, (1985).
11. Moore, John J. and Feng, H. J., "Combustion Synthesis of Advanced Materials, Part I. Reaction Parameters", Progress in Materials Science, Vol. 39 (1995) 243-273.
12. Harada, Y., Murata, Y. and Morinaga, M., "Solid Solution Softening and Hardening in Alloyed MoSi<sub>2</sub>" Intermetallics, Vol. 6 (1998) 29-35.
13. Zhang, S. and Munir, Z. A., "Synthesis of Molybdenum Silicates by Self-Propagating Combustion Method", *Journal of Materials Science*, Vol. 26 (1991) 3685-3688.
14. Fu, M. and Sekhar, J. A., "Processing, Microstructures and Properties of Molybdenum Alumina silicate", *Journal of American Ceramic Society*, Vol. 81 No. 12 (1998) 3205-3214.



شکل ۵. الگوی پراش پرتو X از نمونه با ترکیب  $\text{Mo}_{2}(1-x)\text{Si}_{2}x\text{Al}$  (۲/۰۰۰ فاز اصلی  $\text{Mo}(\text{Si},\text{Al})_2$ )

## ۴- نتیجه گیری

۱. کاهش اندازه ذرات پودر Si به زیر ۳۲۵ مش سبب افزایش چگالی نهایی محصول شد.
۲. با رعایت شرایط بهینه، نمونه هایی با چگالی نسبی بالاتر از ۹۰٪ بدون اعمال فشار خارجی سنتز شد.
۳. فشار بهینه پرس نمونه های دارای بالاترین چگالی نهایی حدود ۲۷۰ MPa تخمین زده می شود.
۴. اعمال پیش گرمایش تا دمای  $400^{\circ}\text{C}$  به مدت ۱۰ ساعت تحت خلاء، قبل از سنتز سبب افزایش سرعت احتراق، دمای واکنش و رشد دانه ها خواهد شد.